

ОБОСНОВАНИЕ СВЯЗИ ГЕОМЕТРИЧЕСКИХ ХАРАКТЕРИСТИК
СВЕТООТРАЖАЮЩИХ ПОВЕРХНОСТЕЙ ШТАНГ С ОТВЕРСТИЯМИ
С ИХ ЭКСПЛУАТАЦИОННЫМИ СВОЙСТВАМИ

Новиков Ф.В., докт. техн. наук, Шкурупий В.Г.

(г. Харьков, Украина)

В статье приведена оценка условий работы штанги с отверстиями под воздействием потока падающей энергии

Известно [1], что работоспособность поверхностей тонких упругих лент штанг в условиях воздействия светового потока в значительной степени определяется их геометрическими и физико-химическими характеристиками. Уменьшить температуру нагрева деталей, работающих в условиях воздействия светового потока, можно за счет технологического обеспечения заданных геометрических и оптических характеристик поверхностей, применяя для этого эффективные методы механической и физико-технической обработки. Однако, в настоящее время отсутствуют практические рекомендации по технологическому обеспечению геометрических и оптических характеристик поверхностей труднообрабатываемых особотонкостенных деталей.

Для обоснования влияния геометрических характеристик поверхностей штанг на температурный перепад освещенной и теневой стороны, приводящий к их изгибу, сделаем следующие допущения [1]:

– нагрев штанги происходит за счёт теплового потока, идущего от излучателя;

– толщина стенок весьма мала в сравнении с расстоянием между ними (диаметр сечения $2,4 \cdot 10^{-2}$ м), температура не меняется по толщине стенок;

– зазор в месте перехлёста кромок штанги мал, его величина приблизительно равна толщине стенки сечения. Лучистый теплообмен между поверхностями в этой области происходит по закону для двух бесконечных параллельных плоскостей. Среднюю линию сечения можно с достаточной степенью точности считать окружностью с постоянным радиусом;

– распределение температуры в сечениях штанги по длине одинаково. Влияние природы материала и концов стенок не учитываем;

– физические величины λ , c и ρ (коэффициент теплопроводности, теплоёмкости и плотности материала штанги) будем считать постоянными и независимыми от координат и температуры (материал однороден и температурный интервал сравнительно невелик).

Ввиду симметричности сечения, достаточно рассмотреть направление теплового потока при изменении угла θ от 0 до π и угла α от 0 до $\frac{\pi}{2}$ (рис.1).

Очевидно, что $\max(T_2 - T_1)$ будет при $\theta = \frac{\pi}{2}$ и $\alpha = \frac{\pi}{2}$.

Необходимо, решить следующую задачу: оценить максимальную разность температур и свести её к минимальной:

$$\max(T_2 - T_1) \rightarrow \min_{\theta, \alpha} \quad (1)$$

Как известно [1], нестационарное температурное поле будет описываться одномерным уравнением теплопроводности:

$$\frac{\partial T}{\partial \tau} = \alpha \frac{\partial^2 T}{\partial \theta^2}, \quad (2)$$

где T – текущая температура в произвольной точке; τ – время течения процесса; θ – текущая координата; $\alpha = \frac{\lambda}{c \cdot \rho}$ – коэффициент температуропроводности материала стенки штанги.

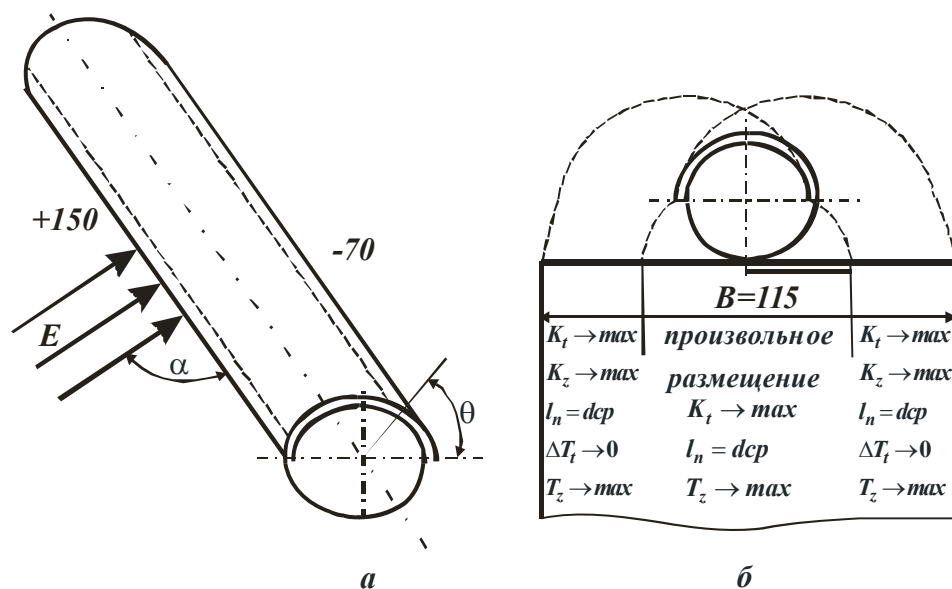


Рис. 1. Направление светового потока (а) и развертка сечения (б) штанги с условиями размещения отверстий.

Применительно к сечению штанги интенсивность теплового потока внутри материала стенки можно представить в следующем виде [2]:

$$q_1 = \frac{4\lambda t}{D^2} \cdot \frac{\partial^2 T}{\partial \theta^2}. \quad (3)$$

Интенсивность теплового потока на поверхности штанги:

$$q_2 = E n a \delta \cdot A s \cdot \frac{F_N}{F_{uu}} \cdot \cos \alpha = E n a \delta \cdot A s \cdot \frac{F_N}{F_{\Gamma}} \cdot F \cdot \cos \alpha, \quad (4)$$

где $F_N = D \cdot \Delta l$, $F_T = \frac{\pi D}{2} \Delta l$ - проекция облучаемой поверхности на плоскость, нормальную к падающему излучению и облучаемая гладкая поверхность соответственно.

В начальной точке интенсивность тепловых потоков будет равна, т.е. $q_1 = q_2$:

$$\frac{2}{\pi} \cdot F \cdot E_{\text{над}} \cdot A_s \cdot \cos \alpha = \frac{4\lambda t}{D^2} \cdot \frac{\partial^2 T}{\partial \theta^2}. \quad (5)$$

Из уравнения (5) следует, что, изменяя шероховатость поверхности, можно в определённой степени изменять температуру на поверхности штанги (левая часть уравнения). На эффект передачи части поглощаемой энергии на противоположную сторону сечения штанги можно также воздействовать изменением размеров диаметра D и толщины материала t штанги, а также путём выбора материала (правая часть уравнения).

Таким образом, интенсивность изменения температуры (в пространственных координатах) зависит от геометрических размеров сечения штанги, шероховатости поверхности и природы материала:

$$\frac{\partial^2 T}{\partial \theta^2} = \frac{D^2 \cdot F}{2\pi\lambda t} \cdot E_{\text{над}} \cdot A_s \cdot \cos \alpha. \quad (6)$$

По интенсивности изменения температуры можно оценить максимальный температурный дифференциал:

$$\left. \frac{\partial T}{\partial \theta} \right|_{\frac{\pi}{2}} = \frac{D^2 F}{2\lambda t} \cdot E_{\text{над}} \cdot A_s \cdot \cos \alpha. \quad (7)$$

При значении фактора шероховатости $F = 0,5$ уравнение (7) согласуется с данными, приведенными в работе [5].

Деформация изгиба штанги под воздействием теплового потока в этой работе аппроксимируется следующим уравнением:

$$x = \frac{D}{\Delta T \alpha_\ell} \ln \cos \frac{\Delta T \alpha_\ell}{D} y, \quad (8)$$

где α_ℓ - коэффициент теплового линейного расширения.

На рис. 2 представлена зависимость изгиба штанги x от её длины y . Расчет выполнен по уравнению (8).

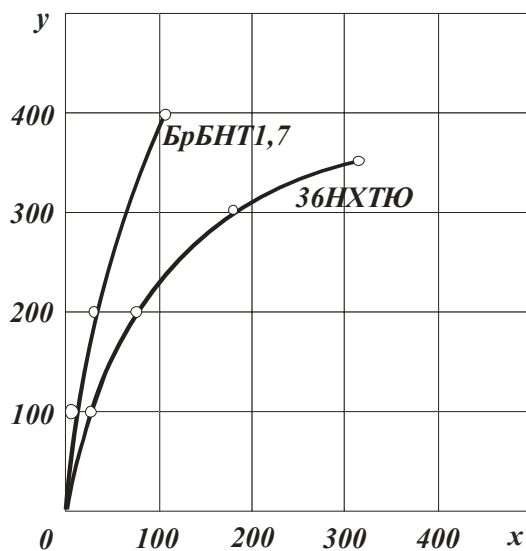


Рис. 2. Зависимость прогиба штанги от её длины для штанг из сплава марки: 1 – БрБНТ 1,7; 2 – 36НХТЮ.

Следует отметить, что изгиб штанг из ленты сплава марки БрБНТ 1,7 значительно меньше. В значительной степени величина изгиба зависит от поглощательной способности поверхности и других теплофизических величин материала λ и α_ℓ .

Для расчёта теплового изгиба использованы следующие значения входящих в формулу теплофизических величин [4]:

– БрБНТИ, $7 \lambda = 200 \text{ Вт/м}\cdot\text{град}$; $\alpha_\ell = 15,8 \cdot 10^{-6} \text{ 1/град}$;

– 36НХТЮ $\lambda = 35 \text{ Вт/м}\cdot\text{град}$; $\alpha_\ell = 9,8 \cdot 10^{-6} \text{ 1/град}$;

$D = 0,024 \text{ м}$; $t = 0,00015 \text{ м}$; $E_{\text{над}} = 1550 \text{ Вт/м}^2$; $\alpha = 0$.

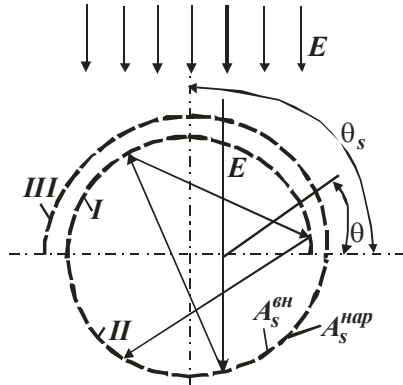


Рис. 3. Схема перераспределения лучистого потока E по сечению штанги с отверстиями.

Рассмотрим поведение трубчатого элемента штанги с отверстиями.

Сечение штанги можно рассматривать как сечение, состоящее из трёх участков (рис. 3.), находящихся в различных условиях теплообмена I ($0 < \theta < \pi$), II ($\pi < \theta < 2\pi$) и III ($0 \leq \theta \leq \pi$).

Для каждого участка найдём уравнение, связывающее температуры T_I , T_{II} и T_{III} при

значениях $\theta = \frac{\pi}{2}$ и $\frac{3}{2}\pi$ (худшие случаи воздействия теплового потока). Эти уравнения можно получить из условия теплового баланса трёх участков сечения стержня.

Тепловой баланс на стенке можно представить в виде уравнения [3]:

$$A_s \cdot E \cdot S_N = \varepsilon \cdot C_o \cdot S \cdot \left(\frac{T}{100} \right)^4,$$

где A_s – коэффициент поглощения лучистой энергии поверхностью стенки; E – плотность падающего солнечного лучистого потока, Вт/м^2 ; S_N – проекция облучаемой поверхности стенки на плоскость, нормальную к падающему излучению, м^2 ; ε – коэффициент излучения поверхности стенки (степень черноты); C_o – постоянная Стефана-Больцмана $5,67 \text{ Вт/м}^2 \cdot \text{К}^4$; S – излучаемая поверхность стенки, м^2 ; T – температура стенки.

Анализ уравнения показывает, что отношение доли поглощения к излучению поверхностей будет зависеть от шероховатости излучаемой поверхности, площадь которой должна быть значительно больше, чем площадь воспринимающей падающий лучистый поток поверхности.

$$\frac{A_s}{\varepsilon} = \frac{C_o}{E} \cdot \frac{S}{S_N} \cdot \left(\frac{T}{100} \right)^4.$$

Это отношение прямо пропорционально отношению общей площади излучения S к площади проекции облучаемой поверхности S_N . С увеличением шероховатости поверхности площадь излучения будет увеличиваться, а температура должна уменьшаться. Следует заметить, что при переизлучении падающего потока внутри сечения штанги необходимо различать шероховатость и оптические свойства наружной и внутренней поверхности штанги: $A_s^{\text{нар}}$; $A_s^{\text{вн}}$; $\varepsilon^{\text{нар}}$ и $\varepsilon^{\text{вн}}$.

Рассмотрим тепловой баланс на стенках I-I, II-II и III-III при $\theta_s = \pi/2$.

При установившемся состоянии равновесия количество лучистой энергии, поглощённое стенкой I-I и III-III, и количество энергии, излучаемое этими стенками в пространство, между собой равны:

$$A^{нар} \cdot E_{над} \cdot (S_N^{общ} - S_N^{омв} \cdot K_3) + A^{вн} \cdot E_{перезл}^{II-I} \cdot (S_{общ} - S_{омв} \cdot K_3) =$$

$$\xi_{нар} \cdot C_o \cdot (S_{общ} - S_{общ} \cdot K_3) \cdot \left(\frac{T_{III}}{100}\right)^4 + K_o \xi_{вн} \cdot C_o (S_{общ} - S_{омв} \cdot K_3) \cdot \left(\frac{T_I}{100}\right)^4 +$$

$$+ \xi_{пр} \left[\left(\frac{T_{III}}{100}\right)^4 - \left(\frac{T_I}{100}\right)^4 \right] \cdot C_o \cdot [S_{общ} - S_{омв} (3 - 2K_3)]$$

где K_o – коэффициент, учитывающий отраженные тепловые потоки;

$K_1 = \frac{S_{омв}}{S_{общ} - S_{омв}}$ – коэффициент, учитывающий общую проходную для лучей

площадь отверстий по сечению штанги; $K_2 = \frac{S_{nnn}}{S_{омв}}$ – коэффициент, учитываю-

щий площадь перекрытия потока лучей по отношению к площади отверстий,

пропускающих поток лучей; $K_3 = \frac{S_N^{омв} - S_N^{nnn}}{S_N^{омв}}$ – коэффициент, учитывающий

несовпадение отверстий в месте перехлёста, может изменяться в пределах $(0 \leq K_3 \leq 1)$; S_N^{nnn} – площадь перекрытий перемычек внутренней кромки отверстиями наружной; $S_N^{общ}$ – проекция общей поверхности облучения на плоскость, нормальную к падающему излучению; $S_N^{омв}$ – проекция площади отверстий на наружной кромке сечения.

Обозначим отношение $\frac{T_I}{T_{III}} = a$ – коэффициент теплопередачи излучением через зазор. Тогда (9) можно преобразовать к виду:

Тогда (9) можно преобразовать к виду:

$$A^{нар} \cdot E_{над} (S_N^{общ} - S_N^{омв} \cdot K_3^N) + A^{вн} \cdot E_{перезл}^{II-I} (S_{общ} - S_{омв} \cdot K_3) =$$

$$\left\{ \xi^{нар} \cdot C_o (S_{общ} - S_{омв} \cdot K_3) + K_o \xi_{вн} C_o (S_{общ} - S_{омв} \cdot K_3) a^4 + \right.$$

$$\left. + \frac{1}{\frac{1}{\xi^{нар}} + \frac{1}{\xi_{вн}} - 1} \cdot C_o \cdot [S_{общ} - S_{омв} (3 - 2K_3)] (1 - a^4) \right\} \left(\frac{T_{III}}{100}\right)^4.$$

Температуру стенки III-III можно представить уравнением:

$$T_{III} = 100 \sqrt[4]{\frac{A_{нар} \cdot E_{над} (S_N^{общ} - S_N^{омв} \cdot K_3^N) + A_{вн} \cdot E_{перезл}^{II-I} (S_{общ} - S_{омв} K_3)}{\xi^{нар} \cdot C_o (S_{общ} - S_{омв} K_3) + K_o \xi_{вн} C_o (S_{общ} - S_{омв} K_3) a^4 +}}$$

$$\left. \begin{aligned} & \frac{1}{\frac{1}{\varepsilon_{нар}} + \frac{1}{\varepsilon_{вн}} - 1} \cdot C_o \cdot [S_{общ} - S_{отв} (3 - 2K_3)] \cdot (1 - a^4) \end{aligned} \right\} \quad (11)$$

Тепловой баланс для стенки II-II:

$$\begin{aligned} & A_{вн} \cdot E_{над} \cdot S_N^{отв} \cdot K_2^N \cdot K_3^N + A_{вн} \cdot E^{I-II}_{перезл} (S_{общ} - S_{отв}) = \\ & = K_o \cdot \varepsilon_{вн} \cdot C_o \cdot (S_{общ} - S_{отв}) \cdot \left(\frac{T_{II}}{100} \right)^4 + \xi_{нар} C_o (S_{общ} - S_{отв}) \left(\frac{T_{II}}{100} \right)^4. \end{aligned} \quad (12)$$

Температуру стенки II-II можно представить уравнением:

$$T_{II} = 100 \sqrt[4]{\frac{A_{вн} \cdot E_{над} \cdot S_N^{отв} \cdot K_2^N \cdot K_3^N + A_{вн} \cdot E^{I-II}_{перезл} (S_{общ} - S_{отв})}{K_o \cdot \xi_{вн} \cdot C_o (S_{общ} - S_{отв}) + \xi_{нар} C_o (S_{общ} - S_{отв})}}. \quad (13)$$

Используя соотношения (11) и (13), получим:

$$\begin{aligned} & \frac{A_{нар}}{A_{вн}} \cdot \frac{\left(S_N^{общ} - S_N^{отв} \cdot K_3^N \right) + \frac{E^{II-I}_{перезл}}{E_{над}} (S_{общ} - S_{отв} \cdot K_3)}{S_N^{отв} \cdot K_2^N \cdot K_3^N + \frac{E^{I-II}_{перезл}}{E_{над}} (S_{общ} - S_{отв})} = \\ & = \frac{\xi_{нар} \cdot C_o (S_{общ} - S_{отв} \cdot K_3) + K_o \xi_{вн} C_o (S_{общ} - S_{отв} \cdot K_3) a^4}{\xi_{нар} \cdot C_o (S_{общ} - S_{отв}) + K_o \xi_{вн} (S_{общ} - S_{отв}) \cdot C_o} + \\ & + \frac{1}{\frac{1}{\xi_{нар}} + \frac{1}{\xi_{вн}} - 1} C_o [S_{общ} - S_{отв} (3 - 2K_3)] (1 - a^4). \end{aligned} \quad (14)$$

После преобразований и сокращений, уравнение (14) примет вид:

$$\frac{\frac{A_{нар}}{A_{вн}} + \frac{K_E}{FS_1}}{K_I^N \cdot K_2^N \cdot K_3^N + \frac{K_E}{FS_2}} = \frac{1 + K_o \cdot \frac{\xi_{вн}}{\xi_{нар}} a^4 + \frac{1}{1 + \frac{\xi_{нар}}{\xi_{вн}} - \xi_{нар}} \cdot F_{S \cdot \Phi_n} (1 - a^4)}{F_{S \cdot n} + K_o \cdot \frac{\xi_{вн}}{\xi_{нар}} \cdot F_{S \cdot n}}, \quad (15)$$

где $FS_I = \frac{S_{общ}^N - S_{отв}^N K_3^N}{S_{общ}^N - S_{отв}^N K_3^N}$ – фактор, учитывающий эффективную нормальную площадь поверхности внутри сечения стержня на участке перекрытия;
 $FS_2 = \frac{S_{общ}^N - S_{отв}^N \cdot K_3^N}{S_{общ}^N - S_{отв}^N}$ – фактор, учитывающий эффективную нормальную площадь поверхности внутри сечения стержня на участке без перекрытия;

$K_E = \frac{E_{\text{переизл}}}{E_{\text{над}}}$ – коэффициент, учитывающий долю лучистого потока внутри

сечения стержня; $F_{sn} = \frac{S_{\text{общ}} - S_{\text{омв}}}{S_{\text{общ}} - S_{\text{омв}} \cdot K_3}$ – фактор, учитывающий эффективную

полную площадь перемычек на наружной стороне по отношению к перекрытию

кромки в месте перехлёста; $F_{s\phi\phi} = \frac{S_{\text{общ}} - S_{\text{омв}}(3 - 2K_3)}{S_{\text{общ}} - S_{\text{омв}} \cdot K_3}$ – фактор, учитываю-

щий эффективную полную площадь перекрытия перемычек на фронтальной и теневой стороне сечения по отношению к площади перекрытия перемычек в области перехлёста.

Обозначим правую часть уравнения (15) через параметр B . Тогда уравнение (15) примет вид:

$$\frac{A_{\text{нар}}}{A_{\text{вн}}} = B \left(K_I^N \cdot K_2^N \cdot K_3^N + \frac{K_E}{F_{sI}} \right) - \frac{K_E}{F_{sI}}. \quad (16)$$

Анализируя зависимость (16), можно заключить, что отношение поглощательной способности наружной поверхности к внутренней будет зависеть от многих факторов: от коэффициентов использования площади развертки и в целом сечения; от условий перекрытия кромок отверстий в месте перехлёста, между фронтальным и теневым участком сечения; от эффективной доставки доли падающего излучения на теневую сторону сечения; от соотношения коэффициентов излучения внутренней и наружной поверхности штанги.

При условии отсутствия перекрытия перемычек отверстиями в области перехлёста и, если внешняя и внутренняя сторона в местах перехлёста в зазоре обладает одной и той же излучательной способностью, выражение упростится:

$$\frac{As_{\text{нар}}}{As_{\text{вн}}} = K_1^N \cdot K_2^N,$$

так как $\frac{\xi_{\text{вн}}}{\xi_{\text{нар}}} \rightarrow 1$; $\alpha \rightarrow 1$, $F_{s\phi\phi} \rightarrow 1$, $F_{sn} \rightarrow 1$,

то $K_3 \rightarrow 1$; $F_{sI} \rightarrow F_{sII}$.

И параметр B принимает значение, равное 1. Или

$$\frac{As_{\text{нар}}}{As_{\text{вн}}} = K_1^N \cdot K_2^N = \frac{S_N^{\text{вн}}}{S_N^{\text{общ}} - S_N^{\text{омв}}}, \quad (17)$$

т.е. отношение коэффициентов поглощения наружной к внутренней поверхности сечения прямо пропорционально доле площади перекрытой поверхности перемычек на теневой стороне по отношению к общей площади перемычек на фронтальной стороне сечения.

При условии полного перекрытия поверхности перемычек теневой стороны отверстиями фронтальной стороны $K_2^N \rightarrow 1$, тогда уравнение (17) можно представить в виде:

$$\frac{A_S^{нар}}{A_S^{вн}} = \frac{1}{F_{нар}} \cdot \frac{S_{отв}}{S_{общ} - S_{отв}}, \quad (18)$$

где F – фактор шероховатости на наружной поверхности.

Лучшим условием работы штанги будет восприятие энергии падающего излучения при значении угла падения $\theta_s = \frac{3}{2} \pi$.

Рассуждая аналогичным образом, получим уравнение связи между соотношением коэффициентов поглощения $\frac{A_S^{нар}}{A_S^{вн}}$ и геометрическими факторами F , K_1^N и K_2^N :

$$\frac{A_S^{нар}}{A_S^{вн}} = \frac{F_{вн}}{F_{нар}} \cdot K_1 \cdot K_2. \quad (19)$$

Приведенные выше рассуждения показывают, что при определенной системе отверстий можно добиться того, чтобы отношение теплового потока, попадающего на освещенную сторону штанги, к тепловому потоку, попадающему на затененную сторону, оставалось постоянным при различных ориентациях штанги по отношению к солнечным лучам.

При заданных размещении отверстий по развертке штанги и ее материале, выбор параметров, обеспечивающих уменьшение температурных деформаций штанги под действием солнечной радиации, касается только выбора коэффициентов поглощения по отношению к солнечным лучам для наружной стороны штанги $A_S^{нар}$ и ее внутренней стороны $A_S^{вн}$.

Список литературы:

1. Попов В.И. Системы ориентации и стабилизации космических аппаратов. – М. Машиностроение, 1986. – 184 с.
2. Григорьев Л.Я., Маньковский О.Н. Инженерные задачи нестационарного теплообмена. – Л.: Изд. «Энергия», 1968. – 72 с.
3. Боли Б., Уэйнер Дж. Теория температурных напряжений. – М.: Изд. «Мир». – 258 с.
4. Прецизионные сплавы с особыми свойствами упругости и теплового расширения. – М.: Изд. «Стандарты», 1972.
5. Kemper A., Farrell K. Temperature Gradients and Distortion De Havilland Technical Note, 1962, XII, №164.